УДК 661.183.1:549.01 (479.25)

волластонит. получение и применение

Г. О. ГРИГОРЯН, А. Б. МУРАДЯН и К. Г. ГРИГОРЯН

Институт общей и неорганической химии АН Армянской ССР. Ереван

Поступило 16 V 1989

В связи с возрастающим интересом в стране к синтезу и применению волластонита в различных областях народного хозяйства нами обобщен литературный материал последних тридцати лет по данному вопросу.

Рис. 4, табл. 5, библ. ссылок 70.

Природный материал—моносиликат кальция, отвечающий формуле CaSiO₃ (48,3% CaO, 51,7% SiO₂), назван волластонитом в честь английского химика-минеролога Волластона (1766—1828 гг.).

Природный силикат кальция встречается в нескольких полиморфных модификациях: низкотемпературная (волластонит) и высокотемпературная (псевдоволластонит). Низкотемпературная модификация встречается в двух формах—моноклинной (параволластонит) и триклинной (волластонит).

Псевдоволластонит обычно считается триклинным. Было показано [1], что элементарная ячейка триклинная, но плоскости псевдосимметрии ее перпендикулярны всем трем кристаллографическим осям. Поэтому ячейка может быть также охарактеризована как псевдогексагональная [2], но можно выбрать и большую ячейку, которая будет псевдоромбической. Псевдоволластонит имеет более высокое двупреломление, чем волластонит.

Структурные различия между двумя низкотемпературными формами сводятся к порядку чередования цепочек: при параллельности и одинаковости ориентировок тетраэдров соседних цепочек возникает триклинная модификация, при чередовании двух возможных сочетаний тетраэдров в цепочках возникает моноклинная симметрия. На рис. 1 сверху и снизу представлены два возможных параллельных расположения цепочек тетраэдров, дающих триклинный волластоних, а в центре, где происходит смена ориентировок, можно выделить моноклинную ячейку. Таким образом, моноклинный политип возникает при чередовании триклинных слоев в обенх возможных ориентировках [3].

Кроме вышеуказанных структурных форм силиката кальция, синтезирована высокобарическая модификация—волластонит II, существующая при давлении выше 30 кбар. Трое [4] показал, что волластонит II дает более или менее изсметрические, плохо образованные призматические кристаллы с показателем преломления и двупреломлением выше, чем у обычного волластонита (табл. 1) [10].

При атмосферном давлении переход чистого волластонита I з псевдоволластонит происходит при температуре 1125° (рис. 2). Псевдоволластонит плавится при 1544°. Тройная точка, где существуют

псевдоволластонит, волластонит I и жидкость, находится при 1588° и 23 кбар [17] (рис. 2).

Свойства волластонита, указанные в табл. 1 и на рис. 2, характерны для CaSiO₃—волластонита в чистом виде. В природе, однако,

волластонит редко встречается свободным от примесей. Он во многих местах содержит кальцит, кварц. Очистка и обогащение таких руд требуют сложной технологии [5], что сильно влияет на себестоимость конечного продукта и ограничивает сферу его применения.

Рис. 1. Два типа построения решетки волластонита из кремнекислородных цепочек. Свер ху — первый тип связи, снизу — второй. Голластонитовые триклинные решетки показаны пунктиром. В центре, где имеет место двойниковое срастание, сплошными линиями показана моноклинная ячейка волластонита

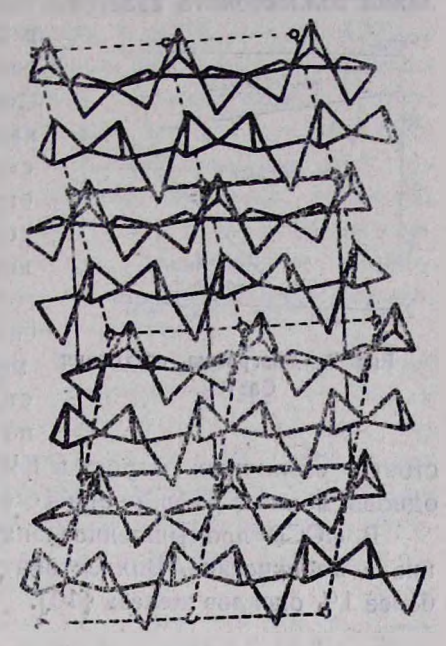


Таблица 1
О птические кристаллы и константы решетки минералов

		- пополить ромотил жимеранов					
Показатели	Еолластонит	Паравол- ластонит	Псевдовол- ластонит	Волласто- нит II			
Ng	1,632	1,632	1,654	1,662			
N_m	1,630	1,630	1,611	1,653			
N,	1,618	1,613	1,610	1,636			
$N_g - N_p$	0,014	0,014	0,044	0,026			
r:Ng	30-44		9	1999			
bNm, "	4-5	0	TO TO ATT	20-1			
2V.	(38-60)		+ (малый)	100			
a, Å	7,94	15,42	6,90	7 12 10			
b, A	7,32	7,32	11,78	10 7 2			
c. Å	7,07	7,07	19,65	11-10-10			
α	90°03′	90°00′	90°00″	11-11-11-11-11-11-11-11-11-11-11-11-11-			
β	95°17′	95°24′	90°48′	* 4. Lance			
7	102°28′	90°00″	119°18′	100			
Простран- ственная группа	ΡĪ	P2	Pi				
Z	6	12	24				

Месторождения волластонита встречаются довольно редко [6, 7]. Основными его производителями являются США, Финляндия, Мексика, Индия, Турция и Кения. В Европе промышленные месторождения установлены только в Финляндии и Югославии [8]. Рудопроявления волластонита известны также в Румынии. Выпуск волластонита

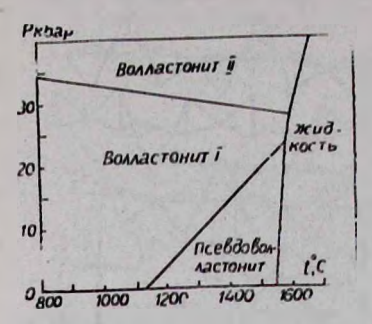


Рис. 2. Диаграмма состояния Са51О₃.

в Финляндии составляет 6 т. т. в год, сведений о выпуске концентрата в Югославии не имеется. Двадцать лет тому назад мировая добыча волластонита составляла около 40 т. т. в год, и он имел ограниченное применение. Сегодия мировое производство волластонита оценивается приблизительно в 150 т. т. в год и он имеет достаточно широкий спектр применения. В 1973 г. максимальная цена за 1 т волластонита составляла 37 долларов. За период с 1974 по 1983 г. цены на природный волла-

стонит различных марок в США возросли до 110—513 сол./m при одновременном расширении ассортимента [9].

В СССР промышленное значение имеет Койташское месторождение в Узбекистане. Волластонит здесь не очень чистый, он содержит более 1% оксидов железа [10].

Области применения волластонита

Волластонит имеет низкий коэффициент усадки и низкий коэффициент термического расширения (6,5×10⁻⁶ мм/мм/град); растворимость его в нейтральной воде при 25° равна 0,0095 в 100 мл (рН 10% шлама около 10); белизна сорта, содержащего 99% материала 325 меш, составляет 92—96%; как правило, химически не активен.

Волокнистая структура минерала придает высокую механическую прочность обожженным изделиям, которые могут быть распилены и просверлены почти как дерево и хорошо держат гвозди и винты. Вишеуказанные свойства и объясняют широкое применение его в различных областях народного хозяйства. Так, в настоящее время волластонит является одним из признанных наполнителей в производстве керамики, пластмасс, изоляционных материалов, лакокрасочных покрытий, специальных стекол, акустических плиток и т. д. [5, 10, 29].

Практический интерес к волластониту как сырью для керамической промышленности обусловлен возможностью резкого сокращения срока обжига изделий, снижения температуры обжига, а также применения однократного обжига облицовочных плиток. При этом повышается прочность на изгиб, достигается минимальное водопоглощение черепков, предотвращается процесс образования трещин, расслоений и прочих дефектов изделий. Положительное воздействие волластонита на скорость обжига объясняется почти линейным харак-

тером его термического расширения и отсутствием выделения химически связанной воды в процессе обжига [21, 67]. В работе [11] показано, что керамические массы на основе волластонита являются одними из оптимальных для скоростного обжига.

Недостаточная термостойкость керамического сырого материала ограничивает скорость нагрева и охлаждения изделий. Авторы работы [12] проводили исследования по определению термической стойкости масс облицовочных плиток при скоростном и традиционном обжиге. На основании проведенных экспериментов они пришли к следующим выводам: 1) введение волластонита в состав керамических масс понижает коэффициент термического расширения образцов, повышает их термостойкость и сужает интервал плавления; 2) при использовании масс, содержащих 5—10% волластонита при обжиге в туннельных псчах и 40—50% волластонита при скоростных режимах обжига, получаются наиболее высококачественные изделия.

Особый интерес, по опыту США, представляет использование волластонита в производстве глазури, глазурной фритты, флюсов и цветных протрав (смальты) [5]. Исследованиями установлено, что содержание фритты в глазури можно понизить до 20%, снижая при этом стоимость глазури. В работе приводятся примеры составов блестящей белой глазури с содержанием волластонита 16—15%. Применение волластонита с размером частиц менее 10 мкм позволяет получить глазурь более высокого качества.

Волластопитовая керамика применяется также для изготовления электроизоляционных материалов с высоким коэффициентом изоляции. При этом изолирующая способность материала увеличивается на 50-60%. Кроме того, создан изоляционный материал, имеющий сверхвысокий коэффициент изоляции [13]. Его масса состоит из волластонита, а флюс-из силиката свинца, диэлектрические потери составляют 0,00099. В этой же работе приводится пример получения пенокерамики холодного отверждения. Её получают из смеси тонкоизмельченного волластонита (от 325 меш до 1 мкм), гидроксида алюминия и фосфорной кислоты. Полное отверждение массы происходит в течение 1 ч. Такой жаропрочный пеноволластонит с низкой плотностью и хорошими изоляционными свойствами применяется для изоляции стальных каркасов зданий и в особенности для изоляции сборных домов. Органические пены, применяемые в настоящее время, представляют серьезную опасность в пожарном отношении. Возможность изготовления изоляции, застывающей на месте применения, без подогрева, очень важна для промышленного использования. Такого рода паста выступает в качестве полностью неорганической керамической краски. При нанесении ее на бетонную или другую поверхность примерно через 24 ч образуется твердое монолитное покрытие, характеризующееся термостойкостью, устойчивостью к климатическим воздействиям и не подвергающееся коррозии солями. Реакцию холодного отверждения можно замедлить введением борной кислоты и поддерживать сырьевую массу в виде пасты практически бесконечно.

Одной из американских кампаний разработан состав электроизо-

The state of the s

ляционного фарфора, в состав которого вводится 20% волластонита [5]. Применение волластонита в данном случае ведет к снижению стоимости готовой продукции примерно в 20 раз. Полученный изоляционный материал допускает очень незначительную утечку электричества и поэтому его можно применять также в электронных приборах. Кроме того, он используется при изготовлении авиационных запальных свечей, которые при работе в турбореактивных двигателях нагреваются до температуры от нескольких сотен до тысячи градусов.

Особый интерес представляют исследования по созданию рецептуры и технологии производства волластонитового фарфора с низкой температурой обжига [14]. Используя составы масс с содержанием от 30—50% природного волластонита, авторы при 980—1080° получили фарфор с нулевым водопоглощением, прочностью при изгибе 480—630 кг/см² и хорошей просвечиваемостью. Воздушная усадка при этом была близка к усадке обычного фарфора, а огневая—меньше. Оптимальный состав массы, %: каолин—40; волластонит—50; фритта—10. Цикл обжига длился 5—6 ч, т. е. в 4—6 раз меньше, чем у классического фарфора. По всем показателям волластонитовый фарфор близок к обычному фарфору, обожженному при 1380°. Ожидаемая экономия расхода энергии при изготовлении волластонитового фарфора составляет 50%.

Волластонит становится все более популярным как добавка к основным сырьевым материалам при производстве строительного кирпича, акустических плиток. Наличие волластонита в изделиях снижает их ломкость и одновременно увеличивает прочность (в ряде случаев на 100%). Так, 2-процентная добавка снижает ломкость кирпичей на 30—100%, в зависимости от исхолного сырья, а 4-процентное содержание волластонита увеличивает прочность более, чем на 100%.

В США волластонит используют также в производстве специальных видов стекла и стекловолокиа. При добавлении волластонита в сырьс, которое идет на производство стекловолокиа, понижается ломкость стекловолокиа, и в связи с повышением содержания окиси кальция уменьшается магнитное влияние железа, содержащегося в сырьс.

В производстве стекла сочетание стекловолокиа с волластонитом способствует понижению температуры, при которой идет технологический процесс, что качественно улучшает поверхность стекла. В работе [15] приводятся данные по использованию силикатов кальция при синтезе электрокерамических изделий с заданными свойствами.

В работе [16] изучены диэлектрические свойства волластонита и псевдоволластонита. Имелось предположение, что более высокая температура обжига должна ухудшать диэлектрические свойства волластонитовой керамики, вследствие превращения β—волластонита в α—модификацию. Установлено, что нет различий в диэлектрических свойствах этих модификаций волластонита.

Широкое применение волластонит находит также в качестве усиливающего наполнителя в лакокрасочном производстве. Добавка

to a figure and the same of th

волластонита повышает водо-, атмосферо- и термостойкость лакокрасочных покрытий, а низкий коэффициент масляного поглощения (20— 26 мл на 100 г) позволяет уменьшить расход связующих компонентов, стоимость которых постоянно растет. Волластонит находит применение в рецептурах эпоксидных лакокрасочных материалов, красок и эмалей на основе алкидных смол, а также водно-дисперсионных красок (ВДК) [9]. В США волластонит применяется в трех типах красок: белой подглазурной эмали с добавкой 9% волластонита, поливинилацетатных эмульсионных красках с добавкой чуть больше 9% минерала, грунтовочных и клеевых красках с добавкой 13% минерала.

Широкий марочный ассортимент волластонита выпускает фирма R. T. Vanderbilt Co. Inc. Она предлагает волластониты с высокой степенью белизны (>88°/0) марок Vensil W—5′), Active—9, предназначенные для противокоррозионных ВДК, Vansil W—9 — для толстослойных покрытий, Vancide 51Z, Van-Gel — дла красок общего назначения [9]. Волластонит Nyad 400 формы Nyco (США) регулирует рН ВДК, улучшает стабильноеть красок при хранении, повышает стойкость к мокрому истиранию [18], фирма Gernert (ФРГ) поставляет высокотвердый волластонит S11 для атмосферо- и износостойких покрытий [19]. Синтетический микронизированный волластонит Ак-каt—200 фирмы Аккаt Chemie (ФРГ) разработан для использования в ВДК и способен заменять 25—3()°/0 двуокиси титана [20].

В нашей стране для лакокрасочной промышленности выпускаются, в основном, природные наполнители, ежегодная потребность в которых, по данным ГИПИ ЛКП, равняется 200 т.т. Однако производство этих наполнителей ниже потребности и волластонит ни природный, ни синтетический в их число не входят.

Диэлектрические свойства и ниэкая теплопроводность позволяют использовать волластонит в качестве наполнителя в производстве пластмасс, эластомеров, феноловых и реактивных смол, способствуя улучшению их электроизоляционных, акустических свойств и внешнего вида в сочетании со стабильностью механических свойств и понижением стоимости [22]. Авторы ряда работ [23—27] приводят данные об использовании неорганического наполнителя—волластонита в пластмассах для придания им необходимых свойств.

В США на волластонит приходится 10—15% от общего количества используемых в настоящее время в промышленности пластмасс минеральных наполнителей, а общий рост производства пластмасс с минеральными наполнителями по прогнозам ссставит около 15% в год. При общем росте потребления волластонита за последние 20 лет около 10% в год, с 1977 г. более быстрыми темпами растет потребность в нем для производства пластмасс. По данным работы [28], потребность в минеральных наполнителях в США составляет около 500 т. т. в год, из них 100 т. т. приходится на волластонит, а мировая потребность в нем составит около 200 т. т. в год. Эта потребность не удовлетворяется. После опубликования в ноябре 1977 г. доклада Америманского национального института охраны здоровья (National Institute

of Safely and Health) об абсолютной безвредности этого материала для здоровья человека на основании эпидемпологического обследования рабочих рудника Уилсборо к волластониту привлечено еще большее внимание как к заменителю асбеста и волокнистого талька, которые оказывают вредное влияние на здоровье человека, попадая в легкие в виде мельчайшей пыли. Предельно допустимая концентрация волластонита в воздухе составляет 15 мг/м³ по сравнению с разрешенными двумя частицами на 1 см³ за 8 ч при работе с асбестом и тальком.

Промышленно развитые страны взяли решительный курс на самое интенсивное развитие новых прогрессивных материалов—композиционных, полимерных, керамических. Наиболее массовым и сравнительно дешевым композитом является стеклопластик, где упрочнитель—стеклянные воложна, а связующий элемент—смола. В новых композитах используются углеродные волокна и органические волокна (органопластики). Композиционные полимерные материалы устойчивы в агреосивных средах, прочности их превышают прочность стали (более чем в 15 раз), а по весу они более 4 раз легче стали.

Волластонит является чисто белым минералом и относится к коротковолокнистому типу наполнителей. Для этого типа наполнителей отношение наибольшей длины частицы (L) к среднему диаметру (D) лежит в интервале от 10 до 1000. Для волластонита это характеристическое отношение L/D находится в пределах 3—20, что позволяет использовать его в качестве усиливающего наполнителя подобно другим типам коротковолокнистых наполнителей [29].

Волластонит улучшает свойства почти всех полимерных соединений. Он все шире применяется в производстве наполненных термопластов—полнпропилена, полистирола, поливинилхлорида, полиэтилена. Благодаря лучшим электрическим, механическим и тепловым свойствам по сравнению с тальком и асбестом, а также своей безопасности, волластонит может быть использован в больших количествах [29].

Кроме того, показано, что в ряде случаев волластопит обеспечивает необходимую рабочую вязкость полимерной композиции при более высоких степенях наполнения по сравнению с таким классическим наполнителем как карбонат кальция.

О свойствах композитов, содержащих волластонит, приводятся данные в работах [23, 30, 32]. Изучены композиты на основе полипропилена, эпоксидных полимеров, полиамидов, полиуретана. В этих работах отмечены, наряду со снижением стоимости композитов, их высокая термостойкость, стойкость к тепловому удару, низкое водопоглощение, стабильность механических свойств, уменьшение усадки. Электрические свойства полипропилена с волластонитовым наполнителем лучше, чем при использовании асбеста или талька. Как показали исследования, проведенные в Институте механики полимеров АН Латвийской ССР, композиции полиолефинов, содержащие волластонит, синтезированный в ИОНХ АН АрмССР, по ряду характеристик, особенно динамической и квазистатической работе разрушения,

превосходят полиолефины, наполненные как зернистыми наполнителями, так и коротким стекловолокном.

В зависимости от области применения различаются и требования к размерам частиц волластонита. По размерам частиц выпускаются различные марки волластонита [5] (табл. 2).

Как следует из вышеприведенных данных, требуется тонкоизмельченный продукт, что связано с энергетическими расходами. Для измельчения используются специальные стержневые мельницы [10].

Средний размер частиц и остаток на сите

Таблица 2

	Марки (Grade)						
	P-4	P-1	C-1	C-6	C-101	F—1	-1
Средний размер частиц.	7	11	16	23	50.)	32	25
Весовой остаток на сите 325 меш, %	0,05	0,3	3,5	20,8	100	22	6

В связи с резким ростом потребности волластонита в различных областях народного хозяйства страны, где нет месторождений природного волластонита (Дания, Италия, ФРГ, Япония и др.), проявили большой интерес к синтетическому волластониту.

Получение синтетического волластонита

Природным сырьевым материалам присущи определенные недостатки, такие, как неоднородность химического состава, разного рода включения и примеси. Их вид и количество обусловлены природой месторождения. Эти недостатки частично можно устранить обогащением минерального сырья, что связано с определенными расходами [5, 10].

Материалы с однородным химическим и минеральным составом представляют большой интерес для технологических процессов. Волластонит постоянного химического и минерального состава можно получить синтетическим способом: спеканием кальцийсодержащего сырья с диоксидом кремния (твердофазный синтез) или обезвоживанием гидратированных силикатов кальция.

Твердофазный синтез волластонита с-модификации. Изучено взаимодействие окиси, карбоната, а также сульфата кальция с диоксидом кремния. Проведены термодинамический и кинетический анализы этих процессов.

Для системы CaCO₃—SiO₂ и Cao—SiO₂ термодинамическому изучению подвергались следующие основные реакции [34].

$$CaCO_3 + SiO_2 = CaO \cdot SiO_2 + CO_2$$
 (1)

$$3CaCO_3 + 2SiO_2 = 3CaO \cdot 2SiO_2 + 3CO_2$$
 (2)

$$2CaCO_3 + SiO_2 = 2CaO \cdot SiO_2 + 2CO_2$$
 (3)

$$3CaCO_2 + SiO_2 = 3CaO \cdot SiO_2 + 3CO_2$$
 (4)

Изучена зависимость свободной энергии ΔG_{τ}^{n} от температуры в интервале $1100-1800\,\mathrm{K}$.

Анализ этих данных показывает, что реакции образования CaO·SiO₂, 2CaO·SiO₂, 3CaO·2SiO₂ и 3CaO·SiO₂ возможны соответственно при 575, 715, 735 и 890 К.

В работе [34] подтверждается, что в системе CaO—SiO₂ термодинамическая последовательность аналогична системе CaCO₃—SiO₂.

Для системы CaSO₄—SiO₂ анализированы следующие основные реакция силикакотообразования [34]:

$$CaSO_4 + SiO_2 = CaO \cdot SiO_3 + SO_2 + \frac{1}{2}O_2$$
 (5)

$$3CaSO_4 + 2SiO_2 = 3CaO \cdot 2SiO_2 + 3SO_2 + \frac{3}{2}O_2$$
 (6)

$$2CaSO_4 + SiO_2 = 2CaO \cdot SiO_2 + 2SO_3 + O_2$$
 (7)

$$3CaSO_4 + SIO_2 = 3CaO \cdot SIO_2 + 3SO_2 + \frac{3}{2}O_2$$
 (8)

Анализ полученных значений $\Delta G_{\tau}^{\tau} = \varphi(t)$ в температурном интервале 1100—1800 К показал, что образование [CaO·SiO₂, 3CaO·2SiO₂, 2CaO·SiO₂ и 3CaO·SiO₃, согласно уравнениям (5-8), оказывается возможным, начиная с 1516, 1580, 1696 и 1866 К.

Для системы CaSO₄—SiO₂—C термодинамический анализ проводился в интервале температур 300—1500 К для реакций [35].

$$CaSO_4 + C = CaO + SO_2 + CO$$
 (9)

$$CaSO4 + SiO2 + C = CaSiO3 + SO2 + CO$$
 (10)

$$2CaSO_4 + SiO_2 + 2C = 2CaO \cdot SiO_2 + 2SO_2 + 2CO$$
 (11)

$$3CaSO_4 + SiO_2 + 3C = 3CaO \cdot SiO_2 + 3SO_2 + 3CO$$
 (12)

Из графика $\Delta G_{r98} = \varphi(t)$ значение $\Delta G = 0$ получено для вышеуказанных реакций соответственно при 1080, 770, 950 и 990 К (рис. 3, кр. 9—12). В случае же образования CO_2 взамен CO_3 получается при температурах 1112, 750, 860, 940° (рис. 3, кр. 13—16).

Таким образом, на основе проведенного термодинамического анализа систем $CaCO_3$ — SiO_2 ; $CaSO_4$ — SiO_2 ; $CaSO_4$ — SiO_2 —C установлено, что первичным продуктом силикатообразования являются метасиликаты. Однако, к сожалению, носледование кинетики этих процессов не всегда подтверждает это.

В работах [36, 37] кинетика процесса исследована при молярном соотношении CaO: SiO₂=1 при 1200°. Продукт реакции изучен с помощью рентгеноструктурного анализа. Фазовый состав продукта реакции в зависимости от продолжительности нагревания представлен на рис. 4.

Было установлено, что лишь после 16-часового обжига в смеси обнаруживается наличие 80% метасиликата кальция. На скорость реакции в твердом веществе вследствие ее зависимости от скорости диффузии атомов (соответственно ионов в кристаллах) сильно влияет размер частиц. Измельчение исходных материалов в течение 2,5 ч позволило довести выход реакции до 95%, а время обжига снизить до 7 ч.

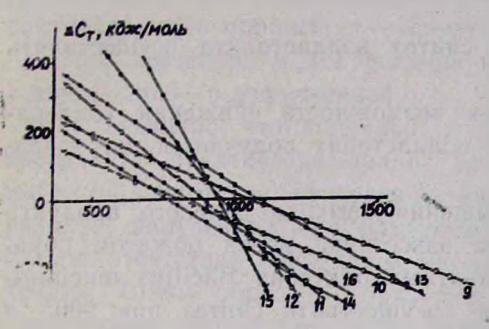
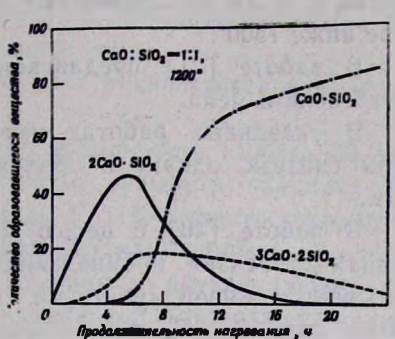


Рис. 3. Зависимость $2O_{101}$ реак ий в системе $CaSO_4 - SIO_2 - C$ от температуры в интервале 200 - 1500 K.



Гис. 4 Зависимость фазового состава от продолжительности опыта.

Как следует из результатов экспериментов, если два веществя могут образовывать несколько соединений в твердой фазе, то последовательность образования соединений лимитируется скоростью диффузип понов, обменивающихся местами в различных формах. В данном случае в смеси в качестве первичного продукта образуется ортосиликат 2CaO·SiO₂ из ортосиликата 3CaO·SiO₂, а затем из негометасиликат. Однако кинетика процесса не согласуется с термодинамическим анализом, подтверждающим возможность образования моноснанката кальция, как более вероятной реакции.

Низкая скорость реакции получения волластонита не позволяет осуществить его промышленный синтез.

С целью интепсификации процесса и исключения возможного образования дикальцийсиликата в Дании и Италии синтез волластонита в промышленных условиях проводился в плаве при 1560° [5]. Шихта содержала кварцевый песок, мел и доломит. Полученный плав для охлаждения выливался в воду. Для получения материала в кристаллической форме охлаждениый продукт вновь нагревался з печи до 1250°. Полученный продукт солержал 50% волластонита, а остальную часть составляли геленит (Ca₂Al₂SiO₇) и акерманит (MgCa₂Si₂O₇).

С целью создания одностадийной и интенсивной технологии были предложены различные способы. Из этих работ представляет интерес патент ФРГ [38], где волластонит получают из известняка и кварцсвего песка. С целью получения продукта, не содержащего двухкальциевого силиката, в исходной шихте кварцевый песок дозируют в избытке от стехиометрии до 25%. Шихту обжигают при 1380—1420°. Свободный SiO₂ в обожженном продукте превращается в кристобалит. Синтез проводится во вращающейся печи.

В работе [39] предложено получать волластонит из природного сырья, содержащего CaCO₃ и SiO₂, и, если в нем соотношение SiO₂/CaCO₃ отличается от требуемой стехиометрии более, чем на 10%, добавляется в соответствующем количестве кремнезем или карбонат кальция. Для этой цели предлагают использовать кварц, монтмориллонит, криноптилолит. После измельчения шихты до величины частиц < 2 мм ее подвергают гомогенизации и обжигу при температуре ниже 1500°.

В работе [21] предлагается синтез волластонита осуществлять

из трепела и мела.

В указанных работах имеется возможность снижения температуры синтеза, однако в продукте волластонит получается загрязненным.

В работе [40] с целью повышения выхода целевого продукта водная суспензия кремнеземистого известняка перед обжигом обрабатывается живой культурой силикатных бактерий Bacillus mucilaginasus при 10—35°, что позволяет осуществить синтез при 900° и обеспечить высокие скорости синтеза. Метод не проверен в крупполабораторном масштабе.

С целью интенсификации процесса синтеза и исключения образования двукальциевого силиката в ряде работ предлагается добавлять в шихту 3—5 масс. % сульфата меди [41] или сульфата аммония [42].

Анализ вышеприведенных работ показывает, что при использовапии карбонатного сырья скорость реакции заметно повышается, увсличение количества диоксида кремния в шихте выше стехиометрического позволяет избежать образования двукальциевого силиката. Однако вышеуказанные работы не обеспечивают возможности получения волластонита с молярным соотношением, равным единице, синтез проводится при относительно высокой температуре 1380—1490° и относительно большой продолжительности обжига. В этих работах не решен вопрос грануляции исходной шихты, что исключает получение волластонита заданнного состава и требует специального очистительного устройства для обеспечения санитарных норм содержания пыли в отходящем печном газе.

В работе [43] предложен способ получения волластонита из фосфогниса, диоксида кремния и кокса. Метод позволяет получить сернистый газ для производства серной кислоты. Способ преверен на лабораторной и опытно-промышленной установках. Исследовано разложение сульфата кальция в присутствии кварцєвого песка и углерода. Изучено влияние количества восстановителя, диоксида кремния, температуры на ход процесса и влияние изменения концентрации диоксида серы от 0 до 10,2% на степень разложения фосфогииса. Установлены оптимальные условия синтеза волластонита путем восстановительного обжига фосфогипсовой шихты: температура—1200°, продолжительность изотермической выдержки—1 ч, соотношение CaO: SiO2 = 1:1, количество углерода—3% от массы фосфогипса [44, 45].

Изучение кинетической закономерности термической диссоциации сульфата кальция [46] показало, что процесс разложения сульфата кальция в шихте при соотношении CaO: SiO₂: C == 2:2:1 описывается уравнением Колмогорова-Ерофеева и носит топокинетический характер:

$$1-a=e^{-3\pi n},$$

где я — доля прореагировавшего вещества; β, n — коэффициенты, характеризующие процесс; т — время обжига, мин.

При значениях n > 1 реакция протекает в кинетической области, а при n < 0.5—в дифузионной.

Установлено, что при 1200° и продолжительности обжига 30 мин происходит практически полное разложение сульфата кальция. Химический, рентгенографический анализы и ИК спектр продуктов реакции, полученных при различных промежутках времени, показали полное отсутствие свободного оксида кальция и двукальциевого силиката. Таким образом, образование псевдоволластонита протекает практически полностью, минуя стадию образования C₂S [46].

Экспериментально подтверждена пригодность полученного волластонита в производстве облицовочных плиток [47].

Анализ работ, проведенных по синтезу волластонита в системах $CaO-SiO_2$, $CaCO_3-SiO_2$ и $CaSO_4-SiO_2-C$, подтверждает, что скорость образования моносиликата кальция увеличивается при использовании $CaCO_3$ и, особенно, $CaSO_4$ взамен оксида кальция.

Сравнительно высокая скорость реакции при использовании CaSO₄ объясняется сравнительно более медленной скоростью разложения CaSO₄, чем CaCO₃ и CaO, а также наличием фторсодержащих соединений и других примесей в фосфогипсе. Замедление скорости образования оксида кальция в реакционной зоне является одним из основных факторов при высокотемпературном синтезе, регулирующим диффузионный процесс образования псевдоволластонита, минуя фазу C₂S. Волластонит, полученный в этом процессе, имеет низкую степень белизны из-за содержащихся примесей, что ограничивает области его применения.

В настоящее время разработаны механические методы активации твердофазных химических процессов [50]. Разработана также радиационно-термическая активация. заканчивающаяся облучением смеси реагентов интенсивными пучками ускоренных электронов [49].

На примерс синтеза двукальциевого силиката и других реакций [48, 49] показано, что применение радиационно-термического синтеза позволяет провести твердофазные процессы в более короткое время, нежели при обычном термическом синтезе. Однако, учитывая многотоннажность силикатных продуктов и отсутствие технологического оборудования для их производства, эти методы лишь перспективны.

Представляет промышленный интерес синтез силикатов введением в шихту микродобавок, таких, как MgO, SrO, BaO [51, 52].

В работе [52] установлена положительная роль оксидов металлов 11 группы. Используя инициаторы направленного синтеза SrO, MgO, доломит и др. в отдельных случаях в присутствии активаторов, авторам удалось получить практически 100% α-волластонит со степенью белизны 95%. Синтез проводился при 1250—1350° и времени обжига до 45 мин.

Получение волластонита обезвоживанием гидратированных гидросиликатов. Производство безводного метасиликата кальция этим способом осуществляется в два этапа: получение различных фаз гидратированных силикатов кальция (ГСК) и обезвоживание гидратированных силикатов.

В ФРГ [53] и Японии [54] гидросиликаты кальция получают взаимодействием оксида кальция и диоксида кремния в виде суспен-

зии или пасты в гидротермальных условиях.

В СССР Манвеляном при разработке способа комплексной переработки нефелиновых сиепитов с целью возврата в процесс гидроксида натрия был предложен способ получения ГСК каустификацией щелочно-кремнеземистых растворов известковым молоком [55, 57]. Предложенный способ известен за границей как метод Soviet Union

[5].

Для обеспечения соотношения $CaO/SiO_2 \Rightarrow 1$ была применена противоточная схема каустификации и промывки осадка путем 5-кратной репульпации при $\mathcal{K}: T = 10:1$ и фильтрации на барабанном фильтре [64]. Метод позволяет получить ГСК высокой степени чистоты, т. к. щелочно-кремнеземистый раствор подвергается предварительной очистке от красящих элементов. Так как диоксид кремния находился в растворе, взаимодействие с гидроксидом кальция протекает с высокой скоростью, минуя гидратные фазы α -C₂S. Полученный ГСК после сушки, обезвоживания и обжига превращается в волластонит [65]. Авторы считают, что наличие в гидрометасиликате до 0,5% оксида натрия ускоряет процесс образования волластонита.

В работе [62] показано, что гидрометасиликат кальция, полученный указанным способом, при переработке в гидротермальных условиях при 250° превращается в ксочотлит.

Предложенный способ дает возможность получения гидрометасиликата кальция (ГМК) высокой степени дисперсности с спльно развитой поверхностью и большой сорбционной влагоемкостью, чем и объясняется возможность его применения в различных отраслях народного хозяйства [68]. Установлено, что ГМК может служить заменителем бора в производстве красок, применять его можно в качестве усилителя в резиновых смесях взамен сажи, мела и талька, он может найти применение в рецептах приготовления глазури в производстве фаянса взамен буры. Интерес представляет также использование карбонизированного метасиликата кальция (КМК) в сухих гальванических элементах взамен пшеничной муки и крахмала.

Добавки ГМК и КМК к солям препятствуют их слеживаемости. Использование ГМК и КМК в полимерных композициях на основе полиэтилена способствует улучшению их физико-механических свойств [69]. КМК, в которой часть оксида кальция (4—15%) заменена оксидом меди или кобальта, является ускорителем отверждения

в композициях ненасыщенных полиэфирных смол, при этом улучшаются также физико-механические показатели композиции [70].

Химизм и кинетика процесса синтеза гидросиликатов. Термодинамические расчеты в системе $Ca(OH)_2$ — SiO_2 — H_2O в обычных и гидротермальных условиях, выполненные в работе [34], показали, что для состава $CaO:SiO_2=1:1$ при низких температурах до 90° устойчивы тобермориты (пломберит и тоберморит), а выше 90° термодинамически наиболее вероятным становится образование ксонотлита. В гидротермальных условиях при 160— 200° и давлении 16—24 атм образуется большое количество гидратированных силикатов кальция (табл).

Гидратированные силикаты кальшия

Гидратированные силикаты кальпия					
Новообразо- вания	Стехиомет- рическая формула	Плотность. г/см ³	Кристалли- ческая формула	Величина рН 100/о пульпы	
ÇSH (II)	CSH. 34	2,43	Волокнистая	11,4	
CSH (I)	CSH _{u,80}	2,53	Игольчатая до продолговатых пластинок	11,1	
Тоберморит	C ₆ S ₄ !1 _{4.8}	2. 0	Волокнистая	9,6	
Ксонотлит	C,5,H16	2,51	Чешуйчатая	9.4	
Гиролит	C2S3H1.75	2,33		9,0	
Некоит	C ₃ S ₃ H ₂	2,06		10.75	
Окенит	CS ₂ H ₂	2.41		10,80	
Пломберит	C ₅ S ₆ H _{10,7}	4 3 3			

Гидратированные силикаты кальция теряют воду при различных температурах [53]. Так, при 810° CSH (I) переходит в β-волластонит с характерным экзотермическим эффектом. Ксонотлит теряет воду при 300—400°, при 750° переходит в β—волластонит. Тоберморит, подобно CSH (II), имеет эндотермический эффект при 200—300° и экзотермический при ~ 830° и в зависимости от степени основности переходит в β-волластонит или β-ортосиликат.

Гиролит при 70—150° теряет 2/3 воды, а при 700—800° переходит в α -волластонит с избытком SiO₂.

Спитез гидросиликатов в системе CaO—SiO₂—H₂O происходит в гетерогенной системе. Следовательно, одним из лимитирующих этапов должен быть перенос массы в зону реакции. Поэтому при изучении кинетики синтеза гидросиликатов необходимо учитывать параметры, влияющие не только на скорость химической реакции, но и на скорость массопереноса. Факторы, влияющие на массоперенос: растворимость Ca(OH)₂ и SiO₂ в гидротермальных условиях, удельная поверхность исходного диоксида кремния, скорость взаимной диффузии ионов кальция и диоксида кремния в реакционную зону.

Растворимость Ca(OH)₂ в воде понижается с ростом температуры [57] и с увеличением рН. Растворимость диоксида кремния в воде, наоборот, увеличивается с повышением температуры и увеличением рН среды.

Таблица 3

Растворимость диоксида кремния в воде зависит также от размера частиц и модификации кремнезема и от доли аморфной фазы

[57, 31].

В работах [58, 33] установлено, что дисперсность исходных компонентов влияет не только на скорость образования гидросиликатов кальция, но и на фазовый состав. Установлено, что на первой стадии в гидротермальных условиях в системе CaO—SiO₂—H₂O синтезируется двухосновный гидросиликат кальция α—C₂SH. Этот процесс длится до тех пор, пока вся известь не окажется связанной в двухосновный гидросиликат кальция. Далее наступает вторая стадия, в течение которой двухосновный гидросиликат кальция растворяется, а из раствора выкристаллизовываются пизкоосновные гидросиликаты кальция.

Таким образом, существует аналогия механизмов высокотемпературного и гидротермального синтеза СSH и необходимо найти пути обеспечения одноступенчатого синтеза в гидротермальных условиях.

В работе [58] изучался синтез гидросиликатов на образцах, изготовленных на кварце с удельной поверхностью $3000-4000\ cm^2/s$ и извести с удельной поверхностью $26\ cm^2/s$ при $t=175^\circ$ в гидротермальных условиях.

Путем непрерывной съемки рентгенограмм через 7—10 мин в течение всего периода гидротермальной обработки было установлено, что уже через 15 мин образуется СSH (I), хотя в образце сохраняется значительное количество свободной извести, т. е. процесс образования СSH протекает одноступенчато.

При проведении же опытов с кварцем с удельной поверхностью $1000\ cm^2/z$ процесс образования CSH (I) существенно отличается. В этом случае процесс идет двуступенчато. Этими работами установлено, что ϵ повышением температуры гидротермальной обработки предельная величина дисперсности SiO_2 , определяющая возможность одноступенчатого образования CSH (I), снижается и, наоборот, с понижением температуры возрастает. Чем больше активность CaO в смеси при заданной температуре, тем больше будет и предельная величина дисперсности SiO_2 для одноступенчатой кристаллизации CSH (I).

Как известно, при гашении извести при высоких температурах (90—95°) получается высокодисперсный активный гидроксид кальция, поэтому при использовании негашеной извести не удается синтезировать СSH, минуя образование C₂SH.

Механизм растворения кварца заключается в деполяризации и | | гидролизе силоксанных связей типа — Si—O—Si— с возникновением

групп —Si—OH, так что в конечном итоге образуется ортокремниевая кислота Si(OH)₄, которая в зависимости от рН будет находиться либо в гидратированной, либо в ионной форме. При рН < 8 основной формой существования ортокремниевой кислоты является педис: ощинрованная $H_4 SiO_4$, а при рН > 13 — ион SiO_4^4 .

Предлагается также следующий механизм превращения кремнезема в силикат [57]:

$$(SiO_2)_{78} + 2H_2O = Si(OH)_4$$

 $Si(OH)_4 + H_2O + OH^- = (H_2O) Si(OH)_5^-$
 $(H_2O) Si(OH)_5^- + OH^- = Si(OH)_6^{2-} + H_2O$

Образование $[Si(OH)_6]^{2-}$ объясняется по аналогии с существованием $[SiF_6]^{2-}$ нона.

Вейль [57] предползгает, что ион H^+ проникает в электронную оболочку иона O^{2-} и в результате поляризации уменьшает его диаметр. Таким образом ион (OH) $^+$ приобретает размеры, сходные с размерами иона фтора F.

В вышеуказанных схемах при растворении диоксида кремния в воде последняя играет роль активного компонента, а также роль калализатора. Она облегчает процессы диффузии, образования зародиней кристаллизации и роста кристаллов.

В работе [59] механизм образования гидросиликатов в системе $CaO-SiO_2-H_2O$ в гидротермальных условиях объясняется следующим образом: при повышении температуры образуется насыщенный раствор $Ca\ (OII)_2$ и поверхность кварцевых зерен разрушается по схеме: $H_1SiO_4-H_2SiO_4^2-H_2SiO_4^2-$ Далее монокремниевая кислота образует с ионами Ca^{2+} первые зародыши фазы CSH. Рост кристаллов ограничен возможностью диффузии SiO_2 через слой видоизмененных фаз CSH, т. к. установлено, что только молекулы SiO_2 могут диффундировать через эти слои.

По мнению Тейлора [60], процесс при автоклавной обработке известково-кварцевых смесей проходит через четыре стадии: возникновение $H_2SiO_2^{2-} \rightarrow$ образование C-S-H (II) \rightarrow образование C-S-H (II) \rightarrow тоберморит 11 Å.

Установлено, что значительное влияние на интенсификацию процесса образования гидратированных силикатов кальция оказывают добавки, которые подразделены на три группы [61]. К первой причислены добавки, проявляющие себя как ускорители этого процесса. Вводимые в малых количествах (около 0.5%) добавки влияют на растворимость взаимодействующих компонентов (NaF, Na₂Si₂F₆, K₂TiF₄). Вторую группу составляют активные тонкоизмельченные добавки, которые в гидротермальных условиях взаимодействуют с известняком и образуют переходную фазу. К ним могут относиться глина или Fe₂O₃. Третья группа состоит из добавок, образующих зародыши кристаллизации, например, бой изделий из гидратированных силикатов кальция.

В работе [63] показана высокая активность диоксида кремния, находящегося в модификациях опалита, тридимита или кристобалита

(синтетического) при синтезе CSH. Предложен следующий способ синтеза: горная порода кварцит-опалит или синтетический тридимит или кристобалит смешивается с гидроксидом кальция и коллоидным фторидом кальция в количестве 0,1-1,0 масс. %, смесь пропаривается при 95—150° в течение 2—4 ч при Ж: T = (6—4):1, фильтруется, сущится и обжигается при 1000-1200° в течение 20-60 мин, продукт получается с 99% выходом и высокой степенью белизны. Способ позволяет синтезировать CSH, минуя образование α-C₂SH. Ионы фтора. как объясняют авторы, повышают растворимость кремнезема, что связано или с увеличением координационного числа Si⁴⁺ до 6 с образованием силикатных ионов с некоторым замещением (ОН) - на F-, или с тем, что F- влияет на структуру воды, изменяя плотность упаковки атомов кислорода и соответственно плотность воды, что создает подвижность Н+ ионов, которые являются катализаторами для гидратации диоксида кремния.

Свойства синтетического волластонита, полученного из ГСК. Теоретически температура плавления волластонита в системе CaO—SiO₂ составляет 1544°. Сиштетический волластонит, полученный из гидросиликатов кальция, плавится при температуре на 100—200° ниже.

В табл. 5 приведены величины температур плавления и плотности волластонитов, полученных при дегидратации некоторых гидросиликатов кальция.

Таблица 4 Плотность и температура плавления волластонита, образовавшегося из различных гидросиликатов [66]

Первичная ф аза	Темпера- тура обжига. °С	Продол- житель- ность обжига, ч	Плотность, г/см ³	Темпера- тура плав- ления. °С
CSH (II)	1000	8	2,86	1440
CSH (1)	1000	8	2,82	1380
Тоберморит	1000	96	2,90	1350
Ксонотлит	1100	8	2,96	1440
Гиролит-	900	8		1350
Окенит	800	8	2,82	1390
Некоит	1000	24	2.91	1410

Степень белизны синтетического волластонита в сопоставлении с природным определяли на аппарате Цейса-Эльрефо. При использовании MgO в качестве эталона найдена более высокая степень белизны синтетического волластонита по сравнению с волластонитом, добываемым в Финляндии и США [66].

В случае синтетического волластонита не удается получить упорядоченную кристаллическую решетку природного волластонита. Хорошо закристаллизованный волластонит получается при дегидратации СЅН, ксонотлита, гидролита и окенита. При сравнении рентгенограмм природного и синтетического волластонита наблюдается различие в распределении интенсивности отдельных полос. Таким образом, для осуществления промышленного твердофазного синтеза волластонита, конкурирующего по своим качествам с
природным волластонитом, необходимо: наличие способа, позволяюшего синтезировать волластонит во вращающейся печи при 1250—
1350°; наличие сырья: карбоната кальция и элоксида кремния, солержащих минимальное количество красящих элементов; гранулиронать шихту для получения продукта постоянного химсостава, надежной
работы обжиговой печи; сокращение энергетических затрат и уменьшение содержания пыли в отходящих газах; иметь надежное оборудование для измельчения исходного сырья и продукта, исключающее
загрязнение волластонита железом и обеспечивающее получение конечного продукта с гранулометрическим составом, отвечающим требованиям мирового рынка; при получении волластонита дегидратацией гидросиликатов кальция разработать интенсивную технологию
сушки, легидратации и обжига силиката кальция на волластонит.

Таблица 5 тепень белизны синтетического и природного волластонита [65]

Скраска фильтра		Степень белизны $(MgO = 100^{\circ})_0$) волластонит			
	Длина волны (улт)				
			природный		
		ческий	Финляндия	США	
Синий	464	91,6	81,3	89,2	
Бирюзовый	495	92,4	81,6	89,7	
Зеленый	54)	93,2	82,1	90.4	
Желтый	572	93,8	82,4	91,1	

ЛИТЕРАТУРА

- 1. Jeffrey J. W., Heller L. Acta crystal. 1953, v. 10, № 10. p. 507.
- 2. Kracek F. C. U. S. Geeolog. survey bul., № 1144-D, 1968, p. 18.
- Брэгг У., Кларнигбулл Г. Кристаллическая структура минералов. М., Мир, 1967.
- 4. Troer F. J. Zeitschr. Kristallogr., 1969, v. 130.
- 5. Andreus R. W. Wollastonite, L., Inst. Geol. Sci., 1970.
- 6. *Шаболов С. П.* Итоги науки и техники. Неметаллические полезные ископаемые. М., ВИНИТИ, 1977, т. 5.
- 7. Smith M. Ind. Miner., 1981, v. 167, Ne 8, p. 25.
- 8. Бабошин В. А. Tp. ВСЕГЕИ, нов. сер., 1964, т. 113, с. 105.
- Костовская Е. Н., Сутарева Л. В. Химическая промышленность за рубежом, 1988, вып. 1(301), с. 78.
- 10. Волластонит/под ред. В. П. Петрова. М., Наука, 1982.
- 11. Volker W. Industrie céramique, 1971, № 636.
- 12. Дестярь Е. П. Волластонит/под ред. В. П. Петрова М., Наука, 1982, с. 93.
- 13. Chowathary H. R. Indian Chem., 1977, v. 20, № 1, p. 55.
- Gonzalez Peha J., Diaz C. Coma, Alvarez-Estrada D.—Enery and Ceram. Proc. 4th Intern. Meet. Mod. Ceram. Technol., Saint-Vincent, 1979. Amsterdam C. A.. 1980, p. 125.

15. Maslennukova G. H. — XII szilikatipari is szilikatud Konf. Budapest, 1977, Budapest, 1977, v. 2, p. 1033.

16. Hayasihi Kunio - J. Ceram. Soc. Jap., 1981, v. 89, № 1028, p. 165.

17. Huang W. Z., Whyllie P. Y. - Amer. Miner., 1975, v. 60, № 3/4. p. 213.

18. Mod. paint and Caat J., Conv Daily. 1973, v. 63, No 18, p. 26

- 19. Farbe and Lack, 1979, v. 85, No 4, p. 310,
- 20. Farbe and Lack, 1978, v. 84. No. 12, p. 1020.
- 21. Гальперина М. К. Стекло п керамика, 1982, № 2, с. 16.
- 22. Whitmer M. Adhes. Age, 1969, v. 12, № 12, p. 43.
- 23. Череватский А. М., Хозин В. Г., Воскресенский В. А., Шепель Ю. Ф. Пласт. массы, 1982, № 5, с. 47.
- 24. Hyrosi Ul. -- Plast Age, 1980, v. 26, Ne 2. p. 101.
- 25. Forger Gary Plast World, 1950, v. 38, Ne 8, p. 61.
- 26. Пат. № 4269755 (1979). США/Fred F., Holube Schenectady N. J., Gerald F. Macke— Official gazete, 26.05.71. v. 1006. № 4.
- 27. Jagadisch Chandra Baby E. -- Pop. Plast, 1986, v. 31, № 11, p. 35.
- 28. Choate L. W. Proc. 3rd Ind. Miner Intern. Congr., Paris, 1978. p. 37.
- 29. Наполнители ряд полимерных композиционных материалов/под ред. П. Г. Бабаевского, М., Химия, 1981, с. 469.
- 30. Copeland J. R., Rush O. W. -- Hule mex. y past. 1982, v. 37. № 432, p. 24.
- 31. Хаинике Г. Трибохимия, М., Мир, 1987, с. 350.
- 32. Jarvela P. J., Le Bell C., Sandelin B., Tormala P. J. Mater. Sci., 1986, v. 21, No. 12, p. 4193.
- Баландис А. А., Саснаускас К. И. Науч. тр. высш. заведений Лит. ССР, химия и хим. техн., 1973, т. 15, с. 365, 385.
- 34. Бабушкин В. И., Матвеев Г. М., Миедлов-Петросян О. И. Термодинамика силикатов. М., Изд. лит. по строит., 1965, с. 114.
- 35. Макарян Э. М., Хечумян Е. М., Григорян О. В. Арм. хим. ж., 1978, т. 31, № 8, с. 572.
- 36. Jander W., Hoffmann E. Z. Anorg. Altg. Chem., 1934, v. 218, p. 211.
- 37. Куколев Г. В. Химпя кремния и физическая химия силикатов. М., Высшая школа, 1966, с. 189.
- 38. Пат. № 1938632 (1972), ФРІ Wuhrer Josef РЖХ, 1976, 2М6П.
- 39. Заявка № 2234241 (1973), Франция/Jacub C. "Listes" n. 3du 17. 1. 1975.
- 40. Авт. свид. № 996325 (1981), СССР/Перес Ф. С., Скрипник В. П., Вайнберг С. Н., Клисер А. Б., Власов А. С., Жук А. А.— Бюлл. изобр., 1983, № 6.
- 41. Авт. свид. № 1079608 (1982), СССР/Перес Ф. С., Клигер А. Б., Блюдтеас С. Т.— Бюлл. изобр., 1984, № 10.
- 42. Авт. свид. № 967949 (1980), СССР/Бушлина И. Ю., Свидерская О. И., Пеньишн В. П., Онищенко И. С. — Бюлл. изобр., 1982, № 39.
- 43. Авт. свид. № 827386 (1977), СССР/Григорян Г. О., Хечумян Е. М. Бюлл. изобр., 1981, № 17.
- 44. Хечумян Е. М., Гюламирян Л. А., Алумян Д. И., Григорян Г. О. Арм. хим. ж., 1979, т. 12, № 12, с. 939.
- 45. Хечумян Е. М., Григорян Г. О. Арм. жим. ж., 1980, т. 33, № 1, с. 28.
- 46. Григорян Г. О., Хечумян Е. М. Арм. хим. ж., 1980, т. 33, № 9, с. 715.
- 47. Григорян Г. О., Хечумян Е. М., Папян К. М., Галстян М. О. Промышленность Армении, 1980, № 8, с. 27.
- 48. Ткаченко Е. В., Аксельрод Н. Л., Воронин А. П., Грибков О. С., Болдырев В. В. ДАН СССР, 1985. т. 284, № 2, с. 413.
- 49. Болдырев В. В., Панилов Б. К., Фактерович Б. А., Якобсон Б. И. Изв. СО АН СССР, сер. хим. науки, 1988, вып. 6, с. 3.
- Аввакумов А. Г. Механические методы активации химических процессов. СО АН СССР, Наука, 1986.
- 51. Авт. свид. № 1465414 (1987), СССР/Григорян К. Г., Григорян О. В. Бюлл. нэобр., 1989, № 7.

- 52. Авт. свид. № 1546423 (1987), СССР/Григорян К. Г., Григорян О. В. Бюлл. изобр., 1990, № 8.
- 53. Solt A., O'memüller W. Tonind. Ztg. und Keramische Rundschau. 1970, v. 94, No. 5, c. 197.
- 54. Schirokt Joseph Ceram cs, 1971, v. 10, p. 777.
- 55. Авт. свил. 72427 (1948), СССР/Манвелян М. Г. Бюлл. изобр., 1948, № 8.
- 56. Манет др. М. Г., Айранетян А. А., Галстян В. Д. Изв. АН АрмССР, ХН, 1961, т. 14. № 1. с. 15; 1961, т. 14. № 2, с. 114; 1961, т. 14, № 3, с. 237.
- Айлер Р. К. Коллоидная химия кремнезема и силикатов. Изд. лит. по строит., архитектуре и строит. материалов, М., 1959.
- Автоклавная обработка силикатных изделий/под ред. Кржеминского, Стройиздат, М., 1974.
- 50. Assarson (i. O. Zement-Ka'k Gips, 1961, v. 14, p. 537.
- Тейлор Х. Ф. Четвертый международный конгресс по химии цементов. Стройиздат. М., 1964, с. 159.
- Бутт Ю. М., Рашкевич Л. Н. Твердение вяжущих при повышенных температурах, Госстройнздат, М., 1961.
- 62. Григорян Г. О., Мелик-Исраелян Е. С. Арм. хим. ж., 1977, т. 30, № 1, с. 898.
- 63. Авт. свид. 1357352 (1986), СССР/Григорян Г. О., Григорян О. В., Мурадян 4. Б., Григорян К. Г. Бюлл. изобр., 1987, № 45.
- 64. Авт. свил. 281438 (1968). СССР/Григорян Г. О., Манвелян М. Г., Киракосян Р. М., Мартиросян Г. Г. Бюлл. изобр., 1970, № 29.
- 65. Авт. свид. 528261 (1974). СССР/Манвелян М. Г., Мартиросян Г. Г. Бюлл. изобр., 1976, № 34.
- 66. Lehman II., S. II. A. Ber. Deutsch Keram, Ges., 1971, v. 48, M. 4, p. 147.
- 67. Kyrczyk 11.G.; Wuhrer J. Keramisthe Zectschrift, 1971, v. 23, № 3, c. 127,
- 68. Маниеллн М. Г., Григорян Г. О., Казарян С. А., Папян Г. С., Багинова Л. Г., Мартиросян А. Л. Химия и технология глинозема, Труды всесоюзного совещания, Ереван, 1964, с. 465.
- 69. Авт. свид. № 410051 (1970). СССР/Ирген Л. А., Поне Д. А., Манвелян М. Г., Григорян Г. О., Путане А. В., Киенкас О. П. Бюлл. изобр., 1974, № 1.
- 70. Авт. свид. № 489769 (1973), СССР/Ирген Л. А., Кузнецов Г. К., Манвелян М. Г., Григорян Г. О. Бюлл. изобр., 1975, № 40.

Армянский химический журнал, т. 43, № 5, стр. 315-319 (1990 г.)

УДК 551.482.214

ОПРЕДЕЛЕНИЕ АМИНОКИСЛОТ В ДОННЫХ ОТЛОЖЕНИЯХ

Г. П. ПИРУМЯН, А. К. ГРИГОРЯН, Е. М. НИКИПЕЛОВА и Н. М. БЕЙЛЕРЯН

Ереванский государственный университет Одесский НИИ курортологии

Поступило 20 II 1989

В донных отложениях оз. Севан, р. Гаварагет и лечебных грязях Куяльницкого лимана г. Одессы качественно разделены и количественно определены аминокислоты в зависимости от места отбора пробы и глубины.

Табл. 3. библ. ссылок 6.

Одним из важных процессов, влияющих на физико-химические свойства воды, в частности, содержание в ней соединений биогенных элементов, является обмен веществом между донными отложениями и водой.